

高等学校教学用書

無線電接收的 工業干擾及其抑制

C. A. 柳托夫著

高等 教育 出 版 社



高等学校教學用書



無線電接收的
工業干擾及其抑制

C. A. 柳托夫著
昝宝澄等譯

高等教育出版社

本書系根据苏联国立动力出版社 (Государственное энергетическое издательство) 出版的柳托夫 (С. А. Лютов) 著“無綫电接收的工業干擾及其抑制”(Индустриальные помехи радиоприему и борьба с ними) 1952年修訂第三版譯出的。原書經苏联高等教育部审定为电工和动力院系的教学参考書。

本書中討論防止無綫电接收中工業干擾的基本理論和實際問題，研究对干擾的各种防护方法，濾波器的理論和計算，濾波器的裝置原理，以及屏蔽作用和屏蔽的計算。

書中有許多节用来叙述干擾的测量方法，和防护設備頻率特性的测量方法。

本書也可供在防止無綫电干擾部門中工作的工程技術人員应用。

參加本書翻譯的是天津大學昝寶澄、北京邮電學院周爍榮、楊恩澤、田永正和郵電部設計院湯國權等同志，校訂工作由趙華孟同志負担。

Dt34/22

無綫电接收的工業干擾及其抑制

C. A. 柳托夫著

昝寶澄等譯

高等 教育 出 版 社 出 版 北京琉璃廠 170 号

(北京市審刊出版業營業許可證出字第 054 号)

商務印書館 上海廠印刷 新華書店總經售

統一書號 15010·499 开本 850×11681/32 印張 9 1/4 /16 插頁 1 字數 241,000 印數 1,701—2,590
1957 年 8 月第 1 版 1958 年 1 月上海第 2 次印刷 定價(10) 1.50

序

偉大的俄羅斯學者，A. C. 波波夫（Попов）的天才發明——無線電——在斯大林五年計劃的年代中達到了高度的發展，而成為重要的通信工具，在我們國家（蘇聯）的政治、文化和經濟生活中起着很大的作用。

無線電通信和廣播工具的大量應用結合着有我們對於這類機件的不斷改善，增強其作用的可靠性，以及對無線電發送和接收質量的提高。

在這當中有決定性因素的是：一方面，提高機件的抗干擾性；另一方面，則在接收地點擺脫干擾的電磁場。

在研究無線電干擾和建立抑制干擾的理論及實踐方面，蘇維埃的科學家和工程師們是占有優先地位的。

在強度方面最大的干擾，是由各種電器，日常電具，以及電氣和汽車運輸工具所產生的工業干擾，在城市中，這項干擾具有很高的電平，以致有時使接收廣播和電視節目成為不可能，並且也破壞了商業的無線電通信。

二十年來，在干擾源的研究方面和抑制干擾方法的探討與運用方面，在蘇聯曾進行過相當多的工作，揭露了抑制工業干擾最有效的方法在於採用特殊的高頻濾波器和屏蔽。在這些工作的基礎上，創造了必需的器材，探討了測量干擾的方法，和建立了干擾所須壓低程度的標準。

在本書中，我們要討論抑制工業無線電干擾的基本理論問題和實際問題，這些問題對於進入這項正在發展着的技術領域都是必要的。

著者對於И.И.格羅德聶夫（Гроднев）編寫屏蔽一章表示謝意。

著作

目 录

序	6
第一章 工業干擾的本質及其对于無線電接收的影响	1
1-1. “工業干擾”和“工業干擾源”概念的定义	1
1-2. 关于工业干擾形成連續高頻頻譜的概念	3
1-3. 接收机与干擾源的耦合	8
1-4. 工業干擾的特性	10
1-5. 收得工业干擾时的音响感覺	11
1-6. 在接收地点所必需的有用信号和干擾比、及为了防止干擾所需要的有用信号場強	12
1-7. 工業無線電干擾的極限容許值标准	14
1-8. 工業干擾的抑制方法	15
第二章 对于工业干擾源电網的防护	26
2-1. 干擾沿电網的傳播	26
2-2. 以电網为負載的干擾源等效电路	26
2-3. 用电容閉塞法防护干擾源的供电網路	27
2-4. 用电感线圈防护干擾源的供电網路	33
2-5. 用濾波器防护干擾源的供电網路	36
2-6. 轉移系数	49
2-7. 阻抗 Z_i 、 Z_h 、 Z_L 、 Z_C 中的諧振現象	56
2-8. 抑制电網中無線電干擾的原理性線路	60
2-9. 防护由接觸机件所產生的干擾	62
第三章 防护电容器	68
3-1. 防护电容器的概念	68
3-2. 紙电容器的电感	70
3-3. K3 型防护电容器結構方面的与电气方面的数据	78
3-4. 套管式电容器	80
3-5. 套管式电容器的結構	82
3-6. 电解电容器的防护性能	89
3-7. 防护电容器的串联与并联	91
第四章 防护电感线圈	96
4-1. 防护电感线圈的概念	96
4-2. 电感线圈的自容	111
4-3. 电感线圈的計算公式	113

4-4. 防护电感线圈的并联和串联	115
第五章 防护滤波器中所用电容器和电感线圈阻抗的高频特性	117
5-1. 电容器阻抗的高频特性	117
5-2. 电感线圈阻抗的高频特性	124
第六章 防护滤波器	129
6-1. 滤波器的概念	129
6-2. 电容滤波器的近似计算公式	132
6-3. 抑制工业无线电干扰所用的Γ形电感电容高频滤波器的计算	133
6-4. 利用防护电容器和电感线圈简化特性曲线计算Γ形滤波器的方法	140
6-5. 多节Γ形滤波器的计算	143
6-6. 关于用套管式电容器的Γ形滤波器计算的要点	144
6-7. Γ形滤波器计算举例	146
6-8. 从实验上核对用简化特性曲线计算的Γ形滤波器	148
6-9. II形滤波器效能系数的近似计算	150
6-10. 滤波器的安装	153
第七章 屏蔽	157
7-1. 屏蔽的概念	157
7-2. 静电屏蔽	159
7-3. 磁屏蔽	160
7-4. 电磁屏蔽	161
7-5. 多层的复合屏蔽	174
7-6. 同轴电缆的屏蔽效应	178
7-7. 非电气密封的屏蔽	184
7-8. 屏蔽对于被屏蔽设备电特性的反作用	196
7-9. 在实际构成屏蔽方面的建议	197
第八章 电车线及无轨电车线中所产生的无线电干扰的抑制	200
8-1. 用电容闭塞到钢轨的方法对电车的馈电线加以防护	200
8-2. 对沿无轨电车线传播的干扰的防护	216
第九章 干扰源及电力网的干扰测量及其内阻抗的测量	219
9-1. 测量干扰的方法	219
9-2. 影响无线电干扰测试器准确度的主要因素	223
9-3. 关于无线电干扰测试器天线设备的考虑	224
9-4. 关于无线电干扰测试器通频带的考虑	226
9-5. 关于无线电干扰测试器中内部校核器的考虑	227
9-6. 无线电干扰测试器中电子管的非线性特性对测量准确度的影响	229
9-7. 干扰测试器中的检波器和输出电子管伏特计	231
9-8. 对于干扰测试器的主要技术要求	234
9-9. III-12M型干扰测试器	239
9-10. III-14型无线电干扰测试器	242

9-11. 在天綫中測量干擾	245
9-12. 在干擾源的端子上和在電網中測量干擾	251
9-13. 進行技術監察時干擾源中干擾電壓的測量	253
9-14. 測量的頻率	255
9-15. 高壓電器所產生的干擾的測量	255
9-16. 無軌電車所產生干擾的測量	258
9-17. 有軌電車所產生的干擾的測量	259
9-18. 研究干擾的補充措施	259
9-19. 干擾源中高頻內阻抗的測量	260
9-20. 電網路高頻阻抗的測量	262
第十章 防護裝置電特性的測量	265
10-1. 防護電容器在波段中的阻抗的測量	265
10-2. 防護電感線圈在波段中的阻抗的測量	267
10-3. Γ 形濾波器衰減系數的測量	270
10-4. 濾波器的典型效能及其測量方法	271
第十一章 工業無線電干擾源——電氣機械濾波繞路的選擇	276
11-1. 不用專門裝置抑制無線電干擾的原理	276
11-2. 對電機所生無線電干擾的抑制	281
11-3. 對電報和電話元件中無線電干擾的抑制	283
11-4. 對振動變流器所生無線電干擾的抑制	289
11-5. 對汽車和摩托車中電氣設備所生無線電干擾的抑制	290
11-6. 對電車所生無線電干擾的抑制	296
11-7. 對無軌電車所生的無線電干擾的抑制	300
11-8. 對其他來源的無線電干擾的抑制	302
參考書目	304

第一章 工業干擾的本質及其 对于無線電接收的影响

1-1. “工業干擾”和“工業干擾源”概念的定义 在無線電通信發展的初期，干擾这一概念只局限于大家所熟知的一切“大气放电”；人們把一切無線電接收中的干擾，即凡是在揚聲器或耳机中的音响与大气干擾作用而生的效应相類似的，全都包括在这个項目之下。

後來才明白，在無線電接收中除了自然干擾——大气干擾——之外，还有相当強烈的人为干擾，那就是由于各种电气設備工作时所產生的干擾。

在原理上，这些干擾是各种电器綫路中电流和电压的迅速变化產生自由振盪所造成的結果。数目众多的电气設備——断續器，开关，內燃机的發火系統，电焊机等——在它們的原理上就是要使电流和电压有迅速变化的。在另外一些情况下，这种变化是我们不希望有但是不能避免的（例如，有軌和無軌电車的集电器与电綫的接觸点）。

几乎所有的电气系統，由于都具有电容、电感和电阻，故当由一种穩定状态过渡到另一种穩定状态时，永远要伴随着有衰減的自由振盪。这种振盪会建立起連續的頻譜，其电压的幅度随着頻率的增加而遞減。

大多数產生干擾的电气設備都建立起連續頻譜的干擾，它几乎侵占了無線電通信用的所有波段，从最長波起一直到超短波波段。

有一些电气設備，象电子管医療器械，高頻电爐，高頻干燥器等，其中裝有等幅振盪的电子管振盪器。这些设备要建立不連續

的頻譜，除了基波以外，還有一系列的諧波。在此情況下，通常是整個頻譜全為電源頻率所調幅。

在相當多的設備中都產生干擾；假如干擾不超出設備範圍之外，將不會起任何作用；但是在設備線路中發生的高頻電流和電壓要沿着導線傳播，而且干擾的能量會從導線中輻射出去。在電線四周所形成的高頻干擾電磁場將直接地、和借助於位於帶有干擾的導線附近的其他各種導線而作用到接收機的天線去。

由上述出發，我們可以作出關於“工業干擾”和“工業干擾源”的概念的定義如下：

1. 工業干擾 我們了解為在電氣設備工作時在其電源或其饋電線中所建立的寄生高頻電流和電壓，以及在接收地點所形成而能使無線電接收條件變壞的干擾場。

2. 工業干擾源 我們了解為那些工作中會產生工業干擾的電氣設備（電路中不穩定的接觸點，儀表，電器，電氣機構）。

除了工業的無線電干擾之外，無線電的接收還被許多其他干擾所擾亂。

所有的無線電干擾可區分為有源的和無源的兩種。

有源無線電干擾是由有電源的人為或自然電磁振盪源所引起的，例如：a) 各種電氣設備在工作中所產生的工業干擾；b) 地面大氣中發生的各種自然電磁過程，如暴風雨，所產生的大氣干擾；c) 接收設備中由於回路和電子管內的起伏現象，如回路中電荷的熱運動所發生的內部雜音。

無源無線電干擾是由於影響無線電波從發射機到接收機的正常傳播的各種現象所產生的干擾。例如，接收短波時的衰落現象，無線電回波，高爾柯夫斯基—留柯塞姆布爾格斯基（горьковско-люксембургский）效應等。

在接收設備以外的干擾源的干擾叫作外來的無線電干擾，例如，工業干擾，大氣干擾等。由於電子管和回路雜音，以及在接收

机內部所發生的其他過程，而在接收設備本身產生的干擾叫作內部的無線電干擾。

1-2. 关于工業干擾形成連續高頻頻譜的概念 工業干擾是由電路中電流和電壓的迅速變化所引起的。實驗證明，几乎所有的工業干擾源實際上都建立連續的頻譜。驟然看來，這可能顯得奇怪，因為大多數的干擾源都有一个很明顯的基本頻率；在電動機中，這個基本頻率決定於換向器的片數；在醫療器械和電鈴中，它決定於電流的間斷頻率；在其他機件中的情形也與此相類似。但這很容易用無數諧波的出現來解釋。在上面所舉的例子中，作周期性出現的電流和電壓脈衝可以用不連續頻譜的形式來表示，其相互間的直線距離恆定不變，出現的頻率就等於基本頻率。圖 1-1 示周期性干擾源可能給出的干擾頻譜。在這裡各個頻率間的間隔有几百甚至几千周。但這是一種理想的情形。實際上，基本頻率，雖然變得極少，但總是要發生變化的（除去機械的和電的原因之外，還有機器的震動，轉速的變化，負載改變等原因），這就使得整個頻譜中的頻率發生變化，干擾頻譜中的各個獨立的頻率就象是被特殊的調制所沖散一樣；這時的高次諧波就開始互相重疊起來（圖 1-2）。象這樣的重疊之所以發生，是由於當 n 次諧波的基本頻率改變 $\Delta f=1$ 周時，該次諧波的頻率恰好改變了 $n=f_0$ 周 (f_0 為

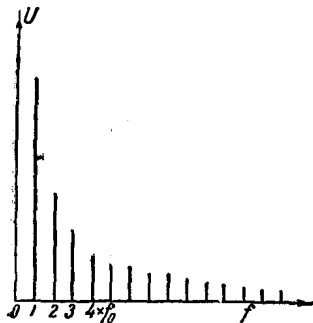


圖 1-1. 周期性干擾源的干擾頻譜。

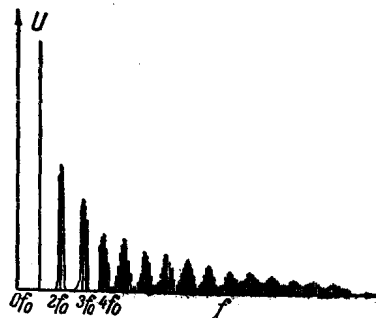


圖 1-2. 周期性干擾源的干擾頻譜，
由於基頻 f_0 的改變過渡到連續頻譜。

頻譜中的基頻)的原故。因此,对于序号为基波 $n = \frac{f}{f_0 + \Delta f}$ 倍以上的一切諧波來說,当基波变动时,实际上就形成連續的頻譜。

實驗指出,頻譜中各个頻率的电压幅度通常是与頻率成反比,而且降低的規律接近为双曲線函数。因此,如將任一电源所產生的干擾电压用以下的級數來代表

$$U = U_1 \cdot \sin(\omega t + \psi_1) + U_2 \cdot \sin(2\omega t + \psi_2) + \\ + U_3 \cdot \sin(3\omega t + \psi_3) + \cdots + U_n \cdot \sin(n\omega t + \psi_n), \quad (1-1)$$

其中: $\omega = 2\pi f$, 当諧波的幅度随着頻率按双曲線函数遞減时,則与任一頻率相对应的电压可以用下式求得

$$U = \frac{\text{const}}{f_n} \quad (1-2)$$

在实际中,由于連續的干擾頻譜存在,加在具有选择性的接收設備上的經常不是單一頻率的电压,而是頻譜中某一頻帶的电压。当在接收設備的輸出端測量這項电压时,我們得到的是由平方和而确定的有效电压,其值系与接收机通頻帶寬度的平方根成比例。

的确,如果从干擾頻譜中取出一很窄的等于 Δf 的頻帶,而測其有效值,則在以功率測量為基礎的儀表中,其指度將与 $U_0^2 \Delta f$ 成比例。对于比較寬的頻帶來說,例如在 f_1 和 f_2 之間的,干擾电压的有效值顯然可表为

$$U = \sqrt{\int_{f_1}^{f_2} U_0^2 \cdot df} = U_0 \cdot \sqrt{\int_{f_1}^{f_2} df} = \\ = U_0 \cdot \sqrt{f_2 - f_1} = U_0 \cdot \sqrt{4f}, \quad (1-3)$$

就是說,干擾的有效电压將与接收机通頻帶 Δf 的平方根成比例。在上例中, U_0 为狹窄的單位頻帶 (譬如說, 1 千周) 的干擾源的有效电压。倘若知道接收机在某一調諧頻率时的通頻帶 Δf ,并在接收机的輸出端測得与 Δf 对应的电压 U ,那么就可以根据 (1-3) 式很容易求得 U_0 值。

利用与接收机某一調諧頻率相对应的 U_0 值，就可以計算在同一頻率而接收机通頻帶寬度不一样时的有效干擾电压。由此可見，当根据以双曲綫函数遞減的頻譜幅度推出的公式 (1-2) 来計算波段中各頻率的干擾电压值时，必須要考慮接收机的通頻帶。

应当指出，在实际中常常是必須要用公式 (1-2) 和 (1-3) 的；實驗證明，其結果是能夠完全令人滿意的。

至于產生單个干擾脈冲的非周期性干擾源，例如，繼电器接触点的断开等，其連續頻譜的形成可以用富氏積分來進行研究。这时每單位頻帶中的干擾电压或电流是頻率的函数。

的确，一切由零变到無限大的函数都可用下面的富氏表示式來代表：

$$f(t) = \frac{1}{\pi} \cdot \int_0^{\infty} d\omega \int_{-\infty}^{\infty} f(x) \cdot \cos \omega(t-x) dx, \quad (1-4)$$

其中： $\omega = 2\pi f$ ； t 为时间； x 为一参数。

將第二重積分式变成下面的形式：

$$\begin{aligned} \int_{-\infty}^{\infty} f(x) \cdot \cos \omega(t-x) dx &= \int_{-\infty}^{\infty} f(x) \cdot [\cos \omega t \cdot \cos \omega x + \\ &\quad + \sin \omega t \cdot \sin \omega x] dx = \cos \omega t \int_{-\infty}^{\infty} f(x) \cdot \cos \omega x \cdot dx + \\ &\quad + \sin \omega t \int_{-\infty}^{\infty} f(x) \cdot \sin \omega x \cdot dx. \end{aligned}$$

由此得到

$$\int_{-\infty}^{\infty} f(x) \cdot \cos \omega(t-x) dx = a \cdot \cos(\omega t + \varphi). \quad (1-5)$$

在此式中

$$a = \sqrt{\left[\int_{-\infty}^{\infty} f(x) \cdot \cos \omega x \cdot dx \right]^2 + \left[\int_{-\infty}^{\infty} f(x) \cdot \sin \omega x \cdot dx \right]^2}, \quad (1-6)$$

而

$$\operatorname{tg} \varphi = -\frac{\int_{-\infty}^{\infty} f(x) \cdot \sin \omega x \cdot dx}{\int_{-\infty}^{\infty} f(x) \cdot \cos \omega x \cdot dx} \quad (1-7)$$

这样來，就可以寫出：

$$f(t) = \frac{1}{\pi} \cdot \int_0^{\infty} a \cdot \cos(\omega t + \varphi) \cdot d\omega, \quad (1-8)$$

其中： a 和 φ 都是 ω 的函数，均与 t 無关。

由于干擾的原因，在电路中通过的电流可用時間的函数來表示：

$$I_t = f(t) = \frac{1}{\pi} \int_0^{\infty} a \cdot \cos(\omega t + \varphi) d\omega. \quad (1-9)$$

由此可見，干擾电流可以看作是具有連續頻譜一样來討論。

上式可以進行变换，用積分的总和來代替積分式(1-9)：

$$I_t = f(t) = \frac{1}{\pi} \sum_{\omega=0}^{\omega=\infty} \int_{\omega}^{\omega+\Delta\omega} a \cdot \cos(\omega t + \varphi) d\omega.$$

当 $\Delta\omega$ 很小，在 $\Delta\omega$ 的積分中可以將 a 和 φ 看作不变，因而可寫出：

$$\begin{aligned} f(t) &= \frac{1}{\pi} \sum_{\omega=0}^{\omega=\infty} a \cdot \int_{\omega}^{\omega+\Delta\omega} \cos(\omega t + \varphi) d\omega = \\ &= \frac{1}{\pi} \sum_{\omega=0}^{\omega=\infty} \frac{a}{t} \{ \sin[(\omega + \Delta\omega)t + \varphi] - \sin(\omega t + \varphi) \} = \\ &= \frac{1}{\pi} \sum_{\omega=0}^{\omega=\infty} \frac{a}{t} \cdot 2 \cdot \sin \frac{\Delta\omega}{2} t \cdot \cos \left[\left(\omega + \frac{\Delta\omega}{2} \right) t + \varphi \right] = \\ &= \sum_{\omega=0}^{\omega=\infty} \frac{a}{\pi} \frac{\sin \frac{\Delta\omega}{2} t}{\frac{\Delta\omega}{2} t} \cdot \cos \left[\left(\omega + \frac{\Delta\omega}{2} \right) t + \varphi \right]. \quad (1-10) \end{aligned}$$

因此，干擾电流就可用下式表示：

$$I_t = \sum_{\omega=0}^{\omega=\infty} i_t, \quad (1-11)$$

其中每一个單元电流都是下式的函数：

$$i_t = \frac{a}{\pi} \Delta\omega \frac{\sin \frac{\Delta\omega}{2} t}{\frac{\Delta\omega}{2} t} \cos \left[\left(\omega + \frac{\Delta\omega}{2} \right) t + \varphi \right], \quad (1-12)$$

在此式中， a 和 φ 是 ω 的函数，与 t 无关；其表示式是 (1-6) 和 (1-7)。

圖 1-3 示电流 i_t 随着 t 变化的情形；其值是利用表 1-1 算出来的。

表 1-1.

$t =$	0	$\frac{\pi}{\Delta\omega}$	$\frac{2\pi}{\Delta\omega}$	$\frac{3\pi}{\Delta\omega}$	$\frac{4\pi}{\Delta\omega}$	$\frac{5\pi}{\Delta\omega}$	$\frac{6\pi}{\Delta\omega}$	$\frac{7\pi}{\Delta\omega}$	$\frac{8\pi}{\Delta\omega}$	∞
$\sin \frac{\Delta\omega}{2} t$	1	0.687	0	0.212	0	0.127	0	0.091	0	0
$\frac{\Delta\omega}{2} t$										

由公式 (1-12) 可以求得單元干擾电流的最大幅度

$$i_{max} = \frac{a}{\pi} \cdot \Delta\omega. \quad (1-13)$$

上式指出，这个幅度系与 a 值和频带宽度 $\Delta\omega$ 成比例。这可用来解释經實驗驗証出的一种現象，那就是干擾的作用是随着無線电接收机选择性的提高而減少的現象。

前面所述的，关于頻率升高时幅度按双曲線函数規律遞減的，周期性干擾的一切看法对

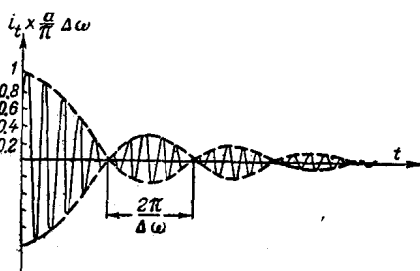


圖 1-3. 非周期性干擾源中干擾电流变化与时间的关系。

于非周期性干擾源的干擾也同样可以应用。

1-3. 接收机与干擾源的耦合 接收机与干擾源的耦合，可能是直接的，也可能是間接的。直接耦合是由于干擾源的直接發射，或通过它的供电網路所造成的接收机与干擾源的耦合。間接耦合是接收机与二次帶有干擾物体之間的耦合；帶干擾的物体可能是另外的电路，或是任何導体。

接收机与干擾源的耦合，不但可以通过接收机的天綫裝置和接地綫，而且也可以通过接收机的电源电路。此外，如果接收机的屏蔽不好，则干擾也可能直接進入接收机中的各回路。

在現代的接收机中，消除由接收机电源傳來的干擾問題是預先就考慮到的。所有的現代接收机，照例都屏蔽得很好，并且裝有高頻網路濾波器。因此，在現代接收机中干擾的侵入，几乎完全是由于其天綫裝置及接地綫与干擾源的耦合。

干擾源直接發射对于天綫裝置和接地綫的作用，僅在干擾源位于接收机的天綫很近时才有可能；因为這項干擾的強度一般是很低的。

經驗證明，主要的干擾作用是由于天綫及接地綫与干擾線路之間的电容耦合，而电感耦合作用較少。所謂的干擾線路，可能是干擾源的供电網路，或是位于干擾源線路作用範圍之內的其他線路。在一般情況之下，家庭中裝的电线就能很好地接受象有軌電車，無軌電車，电焊机等干擾源所產生的干擾。天綫的垂下綫和它的引入綫通常都是在电线的附近，因而与有干擾的电线之間具有很強的电容耦合，故干擾对它們的作用是相當大的。

干擾源与天綫間的电容耦合可以用赫芝的偶極子理論來說明。偶極子在自由空間所建立的电場和磁場应如下式所示：

$$E = \frac{c \cdot h \cdot i_0}{\omega r^3} \cdot \sin(\omega t - mr) + \frac{h \cdot i_0}{r^2} \times \\ \times \cos(\omega t - mr) - \frac{\omega h i_0}{cr} \sin(\omega t - mr); \quad (1-14)$$

$$H = \frac{i_0 \cdot h}{r^2} \cdot \cos(\omega t - mr) - \frac{\omega i_0 h}{cr} \cdot \sin(\omega t - mr), \quad (1-15)$$

其中: $m = \frac{2\pi}{\lambda}$;

c 为光的速度;

i_0 为偶极子中电流的最大值;

h 为偶极子的長度;

r 为离开偶极子的距离。

因为从干擾源及其线路到天线的距离通常都很近, 而除了少数的一些干擾源之外, 工業干擾的作用只能影响到 25—50 米的距离, 只有少数时候影响到 100 米以外, 所以 E 的表示式可以简化, 而僅取其第一項來确定 E 值:

$$E = \frac{c \cdot h \cdot i_0}{\omega r^3} \cdot \sin(\omega t - mr) = \frac{c \cdot h \cdot q}{r^3} \cdot \cos(\omega t - mr), \quad (1-16)$$

其中: q 为偶极子終端的电荷。

这个表示式适用于偶极子所建立的电場。根据上述, 可以認為, 在上述的距离处, 线路对于天线的影响帶有电容的特性。不过應該指出, 上面推得的情形僅对于長波和广播波段有效。对于短波和超短波段來說, 在上述的距离处, 时常將產生純粹的电磁場。

圖 1-4 示天线与
帶有干擾线路間的电
容耦合; 由此可見, 干
擾线路与接收天线越
接近, 天线的水平部
分与干擾线路越近于
平行, 則干擾就会越

強烈。在这种情况下, 电容耦合將是最大。在上述距离处, 由于电感耦合在天线中所感应的干擾和由于电容耦合所造成的干擾比較起來是很小的。

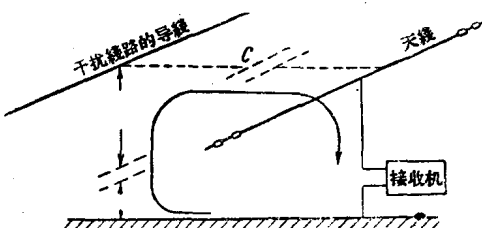


圖 1-4. 天线与干擾线路的电容耦合。

当用环形天线接收的时候，情形与前有所不同：此时，恰是相反，环形天线与干扰线路间的电感耦合占优势。在此情况下，若干

扰线路的导线与环形天线的位置较近而且平行，则对于无线电接收的干扰当然就会最大（图1-5）。这时，由于环形天线的面积小，电容耦合是很弱的。将环形天线对干扰线路旋转90°，甚至在和干扰线路很靠近的时候，实际上也几乎受不到干扰；这时候，由于微弱的电容耦合，可能听得到一些不大的干扰。环形天线的这种可贵的性质被用来测定干扰源的方向，并且在无线电接收中有效地用作降低干扰的工具。

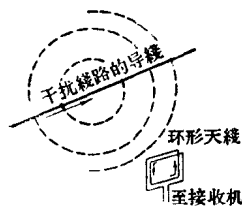


圖 1-5. 环形天线与干扰
线路间的电感耦合。

1-4. 工業干擾的特性 按照干扰的性质，一切的工业干扰可以分成两类：1) 均匀的干扰，和2) 不均匀的干扰。

均匀干扰是指强度作周期性变化的，而幅度则近于保持恒定不变的一种干扰。图1-6的波形图示直流电动机所产生的这种均匀性质的干扰。锯齿状的突起系对应于电刷在电动机换向器上相邻两截片间移过的瞬刻。

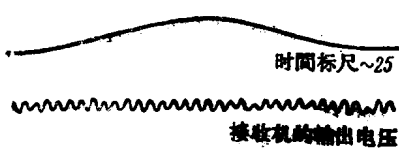


圖 1-6. 直流电动机所产生的
均匀干扰波形图。

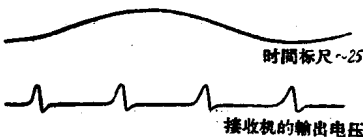


圖 1-7. 相等时间间隔工作的接点
机構所产生的均匀干扰波形图。

在均匀干扰这一项目下，还应该包括如图1-7的波形图所示的干扰。这里，干扰是时而出现在，时而消失；但是两次干扰出现的时间间隔则保持不变；干扰的幅度也近于恒定不变。

不均匀干扰是指强度变化没有一定规律，并且无任何周期性，幅度也有很大差异的一种干扰。图1-8和图1-9的两个波形图示有不均匀干扰的两个例子。